

Ottimizzazione di circuiti lineari

Michele Corrias

UNIVERSITÀ DEGLI STUDI DI MILANO
FACOLTÀ DI SCIENZE MM.FF.NN
DIPARTIMENTO DI INFORMATICA

A.A. 2011/2012



- 1 Introduzione
- 2 Ottimizzazione sul numero di porte
- 3 Ottimizzazione sulla profondità

- 1 Introduzione
- 2 Ottimizzazione sul numero di porte
- 3 Ottimizzazione sulla profondità

- 1 Introduzione
- 2 Ottimizzazione sul numero di porte
- 3 Ottimizzazione sulla profondità

Circuito

Un circuito combinatorio è un circuito hardware in cui input e output possono assumere solo due stati, corrispondenti ai livelli alto (1) e basso (0): in particolare gli output dipendono dagli input attraverso delle funzioni logiche.

Costo

Il costo di un circuito è essenzialmente determinato da due parametri:

- numero totale di porte logiche (*gate count*)
- profondità (*depth*) = cammino critico (numero di porte logiche sul più lungo percorso input-output)

Problema

È possibile trovare una tecnica che permetta di costruire un circuito di costo minimo? Col minimo numero di porte o la minima profondità?

NO

Il problema non è risolvibile in tempo polinomiale. Posso solo applicare delle euristiche di ottimo locale, che arrivano ad una soluzione sub-ottimale, sperando che magari sia proprio quella ottima.

S-Box di AES

I circuiti combinatori sono utilizzati in crittografia, ad esempio, per l'implementazione hardware di cifrari: in AES, nella operazione di SubBytes, vengono utilizzate le S-Box, matrici rappresentabili per mezzo di circuiti: più sono efficienti, più veloci saranno le fasi di cifratura/decifratura.

Le operazioni più utilizzate sono XOR e AND, che equivalgono a somma e prodotto mod 2.

- Circuiti con soli XOR sono detti *lineari*
- circuiti con (anche) AND sono *non-lineari*
 - ottimizzare componenti lineari è molto più facile, e al contempo vengono ottimizzate anche le componenti non lineari.

Ottimizzazione sul numero di porte

Algoritmo

Data una matrice $m \times n$ del tipo $y_k = \bigoplus_{h=0}^n b_{k,h}$, con $b_{k,h} = 1 \ \forall \ 0 \leq k \leq m$

- ① \forall riga contare tutte le occorrenze di coppie (b_i, b_j) , con $0 \leq i \leq j \leq n$, per prendere la coppia più frequente
- ② fare lo XOR tra b_i e b_j e sostituire il risultato nel sistema
- ③ ripetere l'algoritmo fin quando c'è un'unica variabile per ogni uscita

Algoritmo

Data una matrice $m \times n$ del tipo $y_k = \bigoplus_{h=0}^n b_{k,h}$, con $b_{k,h} = 1 \ \forall \ 0 \leq k \leq m$

- 1 ad ogni passo esaminare il vettore di uscita D, che conta gli XOR necessari per ogni output
- 2 preferire, se c'è, una coppia che elimina un output
- 3 altrimenti eseguire Paar, utilizzando anche la cancellazione
- 4 in caso di coppia con frequenza di occorrenze medesime, preferire sempre la coppia che massimizza la norma di D
- 5 fare lo XOR della coppia considerata, e sostituire il risultato nel sistema
- 6 ripetere l'algoritmo fin quando $D = 0$

Idea

- data una matrice M posso calcolare la sua opposta, sfruttando la cancellazione (lavoro in $\text{GF}(2^n)$!)
- precomputo $t = w_0 \oplus w_1 \oplus w_2 \oplus w_3 \oplus w_4$ e calcolo una nuova matrice opposta a quella originale

$$\begin{array}{llllll} z_0 & = & w_0 & \oplus & w_1 & \oplus & w_2 & & & t & \oplus & w_3 & \oplus & w_4 \\ z_1 & = & w_1 & \oplus & w_3 & \oplus & w_4 & & & t & \oplus & w_0 & \oplus & w_2 \\ z_2 & = & w_0 & \oplus & w_2 & \oplus & w_3 & \oplus & w_4 & = & t & \oplus & w_1 & \\ z_3 & = & w_1 & \oplus & w_2 & \oplus & w_3 & & & t & \oplus & w_0 & \oplus & w_4 \\ z_4 & = & w_0 & \oplus & w_1 & \oplus & w_3 & & & t & \oplus & w_2 & \oplus & w_4 \\ z_5 & = & w_1 & \oplus & w_2 & \oplus & w_3 & \oplus & w_4 & & t & \oplus & w_0 & \end{array}$$

- è come se considerassi, nella matrice ottenuta, gli XOR delle variabili a 0 anzichè a 1 (aggiungengo anche la variabile precomputata t)
- ho un costo fisso di precomputazione di n XOR, ma risparmio sulla matrice ottenuta (che è di dimensioni più ridotte)

Testing di Boyar - Peralta su matrici opposte

Risultati

Matrici 5 x 5	Bias \simeq 25%	Bias \simeq 50%	Bias \simeq 75%
Boyar-Peralta	1 \oplus	7 \oplus	7 \oplus
Alg. custom	14 \oplus	10 \oplus	10 \oplus
Matrici 6 x 5	Bias \simeq 25%	Bias \simeq 50%	Bias \simeq 75%
Boyar-Peralta	2 \oplus	8 \oplus	8 \oplus
Alg. custom	16 \oplus	16 \oplus	12 \oplus
Matrici 6 x 6	Bias \simeq 25%	Bias \simeq 50%	Bias \simeq 75%
Boyar-Peralta	3 \oplus	10 \oplus	11 \oplus
Alg. custom	17 \oplus	16 \oplus	11 \oplus

- le matrici testate sono random

- l'algoritmo custom non presenta vantaggi evidenti
 - aumentando le dimensioni delle matrici, la precomputazione della variabile t per l'algoritmo custom diventa più onerosa
 - inoltre, con basse Bias la matrice ha tanti zeri, quindi oltre agli XOR della precomputazione si aggiungono gli XOR delle variabili a zero
- ma è ragionevole pensare che, al crescere delle dimensioni dei circuiti, matrici con “molti 1” (Bias $\simeq 100\%$) che perciò hanno pochi 0, possano essere computate più efficientemente con Boyar-Peralta custom che con Boyar-Peralta originale

Ottimizzazione sulla profondità

Un'euristica greedy per componenti lineari

L'algoritmo LOWDEPTHGREEDY, sviluppato da Boyar e Peralta, tenta di minimizzare la profondità del circuito, tenendo sotto controllo il numero totale di porte [3]

Hamming

- DISTANZA DI HAMMING = misura, tra due stringhe di stessa lunghezza, il numero di sostituzioni necessarie per convertire una stringa nell'altra (la *distanza di Hamming* tra 1111 e 1010 è 2)
- PESO DI HAMMING: misura, per una stringa, la sua *distanza di Hamming* dalla stringa nulla della stessa lunghezza
 - quindi è il numero di elementi diversi da zero di una stringa: per una stringa binaria è semplicemente il numero di 1 (es.: il *peso di Hamming* di 1001 è 2)

```

Low_Depth_Greedy( $M, m, n, k$ ):
{  $M$  is an  $m \times n$  0-1 matrix with Hamming weight at most  $2^k$  in any row }
   $s := n + 1$  { index of the next column }
   $i := 0$ 
   $ip := n$  { columns up to  $n$  had depth at most  $i$  }
  while there is some row in  $M$  with Hamming weight  $> 2^{k-i-1}$  do
    { Phase  $i$  }
    if some row  $\ell$  in  $M$  with weight 2
      had weight 2 at the beginning of the phase
    then let  $j_1$  and  $j_2$  be the columns in row  $\ell$  with ones
    else find two columns  $1 \leq j_1, j_2 \leq ip$ 
      which maximize  $|\{\ell \mid M[\ell, j_1] = M[\ell, j_2] = 1\}|$ 
    add an XOR gate with inputs from the variables for columns  $j_1, j_2$ 
    the output variable produced will correspond to column  $s$ 
    for  $\ell = 1$  to  $m$  do
      if  $M[\ell, j_1] = M[\ell, j_2] = 1$ 
        then  $M[\ell, j_1] := 0; M[\ell, j_2] := 0; M[\ell, s] := 1$ 
        else  $M[\ell, s] := 0$ 
       $s := s + 1$ 
     $ip := s - 1$  { keep track of which gates had depth at most  $i$  }
     $i := i + 1$ 
  
```

Figure 4: Algorithm for creating a minimum depth circuit for linear components

Parametri

- m righe, n colonne
- $k = \lceil \log_2 w \rceil$, con w max Hamming weight tra le righe. k sarà la profondità del circuito dopo l'esecuzione dell'algoritmo
- s = indice della prossima colonna
- ip = colonna con profondità al più i

Euristica:

- LowDepthGreedy mantiene l'approccio greedy di Paar, ma solo fin tanto che questo non incrementa la profondità
- k fasi, partendo da $i \geq 0$. All'inizio di ogni fase viene fatto un check su ogni riga: se ha Hamming weight 2, allora la coppia di variabili a 1 viene XORata; altrimenti viene scelta, tra le coppie candidate, quella che compare più frequentemente tra le righe della matrice (come prevede Paar)
- il risultato dello XOR, in ogni caso, viene sostituito nel sistema

Teorema

- alla fase i solo le variabili input o gli XOR prodotti fino a profondità i sono considerati come possibili input di nuove porte logiche da produrre in fase i . Quindi le porte prodotte in fase i hanno profondità al massimo $i+1$
- l'algoritmo termina in $k-1$ fasi, ottenendo un circuito di profondità massima k . Il tempo di esecuzione è $O(mt^3)$, con numero finale delle colonne $t \leq m * n + n - m$

Esecuzione di LowDepthGreedy

LowDepthGreedy(M, 6, 5, 2)

$$\begin{array}{rcll}
 z_0 & = & w_0 \oplus w_1 \oplus w_2 & 1 \ 1 \ 1 \ 0 \ 0 \\
 z_1 & = & w_1 \oplus w_3 \oplus w_4 & 0 \ 1 \ 0 \ 1 \ 1 \\
 z_2 & = & w_0 \oplus w_2 \oplus w_3 \oplus w_4 & 1 \ 0 \ 1 \ 1 \ 1 \\
 z_3 & = & w_1 \oplus w_2 \oplus w_3 & 0 \ 1 \ 1 \ 1 \ 0 \\
 z_4 & = & w_0 \oplus w_1 \oplus w_3 & 1 \ 1 \ 0 \ 1 \ 0 \\
 z_5 & = & w_1 \oplus w_2 \oplus w_3 \oplus w_4 & 0 \ 1 \ 1 \ 1 \ 1
 \end{array}$$

- max Hamming weight (H.w.) = 4
- $s = 6$; $i = 0$; $ip = 5$

Fase 0

- $H.w. 4 > 2^{k-i-1}=1 = 2$ (condizione soddisfatta)
- $s_0 = w_1 \oplus w_3$ (ultima colonna)
- $s = 7$

$$\begin{array}{rcll}
z_0 & = & w_0 \oplus w_1 \oplus w_2 & = \begin{array}{ccccc|c} 1 & 1 & 1 & 0 & 0 & 0 \end{array} \\
z_1 & = & w_4 \oplus s_0 & & \begin{array}{ccccc|c} 0 & 0 & 0 & 0 & 1 & 1 \end{array} \\
z_2 & = & w_0 \oplus w_2 \oplus w_3 \oplus w_4 & = \begin{array}{ccccc|c} 1 & 0 & 1 & 1 & 1 & 0 \end{array} \\
z_3 & = & w_2 \oplus s_0 & & \begin{array}{ccccc|c} 0 & 0 & 1 & 0 & 0 & 1 \end{array} \\
z_4 & = & w_0 \oplus s_0 & & \begin{array}{ccccc|c} 1 & 0 & 0 & 0 & 0 & 1 \end{array} \\
z_5 & = & w_2 \oplus w_4 \oplus s_0 & & \begin{array}{ccccc|c} 0 & 0 & 1 & 0 & 1 & 1 \end{array}
\end{array}$$

Fase 0

- $H.w. 4 > 2$ (condizione soddisfatta)
- $s_1 = w_0 \oplus w_2$ (ultima colonna)
- $s = 8$

$$\begin{array}{rclcl} z_0 & = & w_1 \oplus s_1 & & 0 \ 1 \ 0 \ 0 \ 0 \ 0 \mid 1 \\ z_1 & = & w_4 \oplus s_0 & & 0 \ 0 \ 0 \ 0 \ 1 \ 1 \mid 0 \\ z_2 & = & w_3 \oplus w_4 \oplus s_1 & = & 0 \ 0 \ 0 \ 1 \ 1 \ 0 \mid 1 \\ z_3 & = & w_2 \oplus s_0 & & 0 \ 0 \ 1 \ 0 \ 0 \ 1 \mid 0 \\ z_4 & = & w_0 \oplus s_0 & & 1 \ 0 \ 0 \ 0 \ 0 \ 1 \mid 0 \\ z_5 & = & w_2 \oplus w_4 \oplus s_0 & & 0 \ 0 \ 1 \ 0 \ 1 \ 1 \mid 0 \end{array}$$

Fase 0

- $H.w. 3 > 2$ (condizione soddisfatta)
- $s_2 = w_2 \oplus w_4$ (ultima colonna)
- $s = 9$

$$\begin{array}{rclcl}
z_0 & = & w_1 \oplus s_1 & & 0 & 1 & 0 & 0 & 0 & 0 & 1 & | & 0 \\
z_1 & = & w_4 \oplus s_0 & & 0 & 0 & 0 & 0 & 1 & 1 & 0 & | & 0 \\
z_2 & = & w_3 \oplus w_4 \oplus s_1 & = & 0 & 0 & 0 & 1 & 1 & 0 & 1 & | & 0 \\
z_3 & = & w_2 \oplus s_0 & & 0 & 0 & 1 & 0 & 0 & 1 & 0 & | & 0 \\
z_4 & = & w_0 \oplus s_0 & & 1 & 0 & 0 & 0 & 0 & 1 & 0 & | & 0 \\
z_5 & = & s_0 \oplus s_2 & & 0 & 0 & 0 & 0 & 0 & 1 & 0 & | & 1
\end{array}$$

Fase 0

- $H.w. 3 > 2$ (condizione soddisfatta)
- $s_3 = w_3 \oplus w_4$ (ultima colonna)
- $s = 10$

z_0	$=$	w_1	\oplus	s_1		0	1	0	0	0	0	1	0		0
z_1	$=$	w_4	\oplus	s_0		0	0	0	0	1	1	0	0		0
z_2	$=$	s_1	\oplus	s_3	$=$	0	0	0	0	0	0	1	0		1
z_3	$=$	w_2	\oplus	s_0		0	0	1	0	0	1	0	0		0
z_4	$=$	w_0	\oplus	s_0		1	0	0	0	0	1	0	0		0
z_5	$=$	s_0	\oplus	s_2		0	0	0	0	0	1	0	1		0

Esecuzione di LowDepthGreedy

Fase 0

$H.w. 2 \not\geq 2$ (condizione insoddisfatta)

- Aggiorno le variabili e passo ad una nuova fase
- $ip = 9$; $i = 1$; $s = 10$ (non considero più solo gli input per contare le occorrenze, ma anche gli XOR prodotti alla fase precedente)

Fase 1

- $H.w. 2 > 2^{k-i-1=0} = 1$ (condizione soddisfatta)
- $s_4 = w_0 \oplus s_0$ (considero la prima riga con H.w. = 2)

z_0	$=$	w_1	\oplus	s_1	$=$	0	1	0	0	0	0	1	0	0		0
z_1	$=$	w_4	\oplus	s_0		0	0	0	0	1	1	0	0	0		0
z_2	$=$	s_1	\oplus	s_3		0	0	0	0	0	0	1	0	1		0
z_3	$=$	w_2	\oplus	s_0		0	0	1	0	0	1	0	0	0		0
z_4	$=$	s_4				0	0	0	0	0	0	0	0	0		1
z_5	$=$	s_0	\oplus	s_2		0	0	0	0	0	1	0	1	0		0

Esecuzione di LowDepthGreedy

Fase 1

- $H.w. 2 > 1$ (condizione soddisfatta)
- $s_5 = w_1 \oplus s_1$
- $s_6 = w_2 \oplus s_0$
- $s_7 = w_4 \oplus s_0$
- $s_8 = s_0 \oplus s_2$
- $s_9 = s_1 \oplus s_3$
- $s = 16$

Fase 1

$H.w. 1 \not> 1$ (condizione insoddisfatta)

- Aggiorno le variabili e passo ad una nuova fase
- $ip = 15; i = 2; s = 16$
- $H.w. 2^{k-i-1} = 2^{-3} < 0 \Rightarrow \text{STOP}$

Esecuzione di LowDepthGreedy

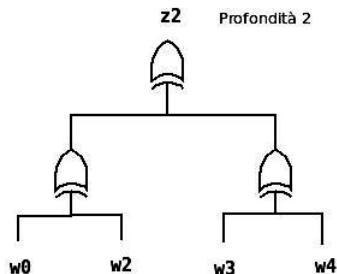
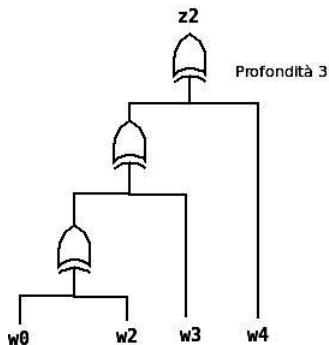
Matrice finale

$$\begin{aligned}Z_0 &= S_5 = w_1 \oplus S_1 = w_1 \oplus (w_0 \oplus w_2) \\Z_1 &= S_7 = w_4 \oplus S_0 = w_4 \oplus (w_1 \oplus w_3) \\Z_2 &= S_9 = S_1 \oplus S_3 = (w_0 \oplus w_2) \oplus (w_3 \oplus w_4) \\Z_3 &= S_6 = w_2 \oplus S_0 = w_2 \oplus (w_1 \oplus w_3) \\Z_4 &= S_4 = w_0 \oplus S_0 = w_0 \oplus (w_1 \oplus w_3) \\Z_5 &= S_8 = S_0 \oplus S_2 = (w_1 \oplus w_3) \oplus (w_2 \oplus w_4)\end{aligned}$$

$$= \begin{bmatrix} 0 & 0 & 0 & 0 & 0 & 0 & 0 & 0 & 0 & 0 & 1 & 0 & 0 & 0 & 0 \\ 0 & 0 & 0 & 0 & 0 & 0 & 0 & 0 & 0 & 0 & 0 & 0 & 1 & 0 & 0 \\ 0 & 0 & 0 & 0 & 0 & 0 & 0 & 0 & 0 & 0 & 0 & 0 & 0 & 0 & 1 \\ 0 & 0 & 0 & 0 & 0 & 0 & 0 & 0 & 0 & 0 & 0 & 1 & 0 & 0 & 0 \\ 0 & 0 & 0 & 0 & 0 & 0 & 0 & 0 & 1 & 0 & 0 & 0 & 0 & 0 & 0 \\ 0 & 0 & 0 & 0 & 0 & 0 & 0 & 0 & 0 & 0 & 0 & 0 & 0 & 1 & 0 \end{bmatrix}$$

Profondità

- L'algoritmo termina in $k = 2$ fasi, con 10 XOR.
- La profondità del circuito è 2, mentre inizialmente era 3.



LowDepthGreedy Custom

- un'altra possibilità per produrre circuiti lineari di profondità ottimale è considerare come input delle porte logiche da produrre inizialmente solo le coppie di input (depth 0), successivamente considerare come input delle porte che avranno depth 2 solo coppie di valori a depth 1 (e al limite i restanti input non accoppiati alla fase precedente)...
- alla fase $i + 1$ considerare come input delle porte logiche da produrre solo quei valori prodotti alla fase i (più eventuali valori non accoppiati nelle fasi precedenti)

Possibili improvements di LowDepthGreedy

- cerco così di utilizzare tutti i valori precedenti: in questo modo si sviluppa un circuito non in profondità, ma in larghezza (come un albero bilanciato)
- tuttavia, il metodo prescelto dal LowDepthGreedy originale, rispetto a questa variante permette maggiore flessibilità nella scelta di porte, garantendo così maggiori possibilità di creare porte logiche utilizzabili più di una volta
 - preservò *gate count*!

Possibili improvements di LowDepthGreedy

Ottimizzare profondità localmente

- attraverso tecniche di LOCAL REPLACEMENT nei cammini critici del circuito, è possibile abbassare la profondità totale
- qualsiasi porta logica prodotta è il risultato dello XOR tra diversi precedenti valori: questi possono essere XORati in qualsiasi ordine per ottenere lo stesso output

① $w_3 = w_0 \oplus w_1$ con $w_0 \rightarrow$ profondità d_0

② $z = w_2 \oplus w_3$ con $w_2 \rightarrow d_1, w_3 \rightarrow d_2$

• $d_0, d_1 \leq d_2 - 2$

La profondità di z è $d_2 + 1$. Il risultato è equivalente a:

① $x = w_0 \oplus w_2$

② $z = w_1 \oplus x$

Possibili improvements di LowDepthGreedy

- evito però di calcolare w_3 che era il collo di bottiglia. Risparmio così sulla profondità totale di 1, infatti $z \rightarrow d_1 + 1$
- le tecniche di *local replacement* risultano efficaci nel caso in cui il vecchio output w_3 non sia utilizzato in altre parti del circuito

Cancellazione

- CANCELLAZIONE di variabili non utilizzata sin da subito, dal momento che spesso è necessario che qualcosa con un grande Hamming weight sia già stato calcolato per poterla applicare efficacemente
- si potrebbe introdurre la cancellazione ad una certa fase i , dopo aver precomputato un certo numero di variabili
- potrebbe ridurre il *gate count*

Ottimizzare numero porte

- dopo l'esecuzione di LowDepthGreedy ottengo un circuito di profondità ottimale
- si può mirare a decrementare il *gate count* su questo circuito
- ottimizzando sulla profondità si aumentano inevitabilmente i costi sull'uso di porte logiche
 - LowDepthGreedy impiega 10 XOR sull'esempio fatto sopra e 128 porte su AES S-box
 - l'algoritmo di Boyar-Peralta per la minimizzazione del *gate count* arriva a 8 XOR sullo stesso esempio, e 115 porte su AES[2]
 - c'è quindi ancora un margine di miglioramento sul numero totale di porte
- si può “rilassare” ogni percorso di profondità $i < \max(\text{depth})$, cioè percorsi più corti del cammino critico, portandoli ad una profondità maggiore $j > i$ per risparmiare XOR

Possibili improvements di LowDepthGreedy





- ad esempio, XOR di profondità 3 che non sono determinanti per la profondità totale, potrebbero essere la somma di una coppia di qualsiasi altro output di profondità maggiore
- LowDepthGreedy potrebbe essere modificato utilizzando un array di appoggio che tenga conto, per ogni riga, quanto ogni coppia può essere “calcolata più tardi”, se non è determinante per la profondità
- ciò permette la possibilità di cercare input ad una profondità maggiore per eventuali cancellazioni

Gate Count Optimization

- Boyar-Peralta Custom, per matrici opposte, non ha dato vantaggi su input di ridotte dimensioni
- dal testing si evince che in circuiti di dimensioni reali e con alta frequenza di 1 può apportare vantaggi

Depth Optimization

- LowDepthGreedy per ottenere profondità ottimale con un discreto numero di XOR
- produce AES S-box di *depth* 16 con *gate count* 128 (prima *Nogami* riusciva ad ottenere S-box di *depth* 22 con *gate count* 148 [4])
 - LowDepthGreedy Custom
 - *local replacement*
 - cancellazione
 - *gate count optimization* sul circuito di minima profondità

-  C. Paar. Optimized arithmetic for Reed-Solomon encoders. In *IEEE International Symposium on Information Theory*, page 250, 1997.
-  J. Boyar and R. Peralta. A new combinational logic minimization technique with applications to cryptology. In P. Festa, editor, *SEA*, volume 6049 of *Lecture Notes in Computer Science*, pages 178-189. Springer, 2010.
-  J. Boyar and R. Peralta. A depth-16 circuit for the AES S-box. In *Cryptology ePrint Archive, Report 2011/332*, 2011.
-  Y. Nogami, K. Nekado, T. Toyota, N. Hongo, and Y. Morikawa. Mixed bases for efficient inversion in $f(((2^2)^2)^2)$ and conversion matrices of subbytes of AES. In S. Mangard and F.-X. Standaert, editors, *CHES*, volume 6225 of *Lecture Notes in Computer Science*, pages 234-247. Springer, 2010.